

大阪市立大学 正員 飯田宗章
大阪工業大学 正員 ○田村宏一

1. まえがき 一般に構造物は平面及び線材の複雑な結合によって構成される場合が多く、簡易計算に見られる様な二つより構成要素の扱いにより換算では断面力を正確に求められないという欠点がある。既に各方面に於て構造の立体的解析の問題に之れまた電子計算機の発達により高次不静定構造を解く場合の計算努力は相当に軽減され、かかるか、平面要素と食む立体構造である場合には解法自身に未だ探究の必要を感じざるゝ。これらは既にその一段階として平板の解析において、内実に於ては平衡の微分方程式を満足する境界条件の緩和を行ない未知数を著しく減少させかつ高精度を維持する近似解法を提案し、2.3.の平板問題に応用して充分な結果を得た。今回その応用面と平板と平板との結合面下で構成される立体構造へ拡張し連続条件の緩和を行つて解法の有効性を検討したものである。

2. 解法 解法の一例を示す。構造の一つの面要素を抽出し選んだ未知量として連続線に分布して作用する不静定モーメント M_E とする。(Fig.1) 次に連続条件と緩和を考慮して

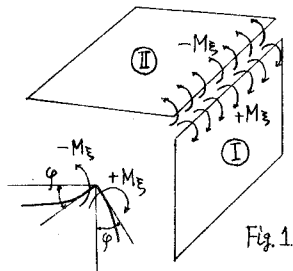


Fig.1

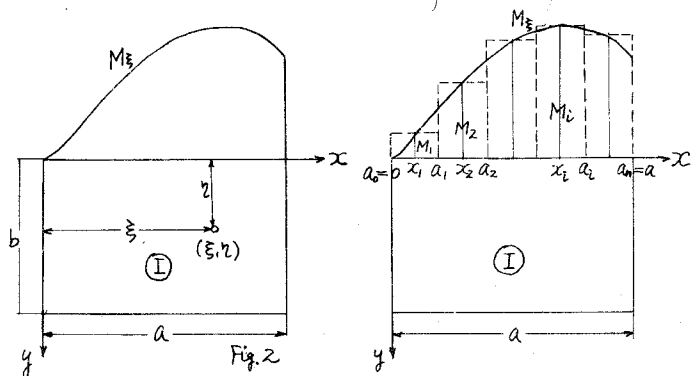


Fig.2a で示す様に M_E の区間に階段状に変化して分布する平均モーメントに置き換えるものである。境界上の選ばれた各点 (x_1, x_2, \dots, x_n) には夫々平均モーメントが作用するものとする(級近化を行ふ)。今この様に置き換えたモーメントによつて生ずる連続線上任意選点 ($x=x_i, y=0$) の接角 φ は次式で表はされる。

$$\varphi = \frac{\partial}{\partial y} \left[\sum_{i=1}^n \int_{a_{i-1}}^{a_i} M_i \left(\frac{\partial W}{\partial y} \right) d\xi \right]_{y=0}$$

以下 (以下板内任意点 (ξ, η) に unit load を作用した場合) にわみである。更に荷重によるたわみ角と重疊し連続線上各選点の接角の連続条件によつて不静定モーメント M_E を求める。又構造荷重の非対称性は場合には構造要素の回転角を考慮しなければならぬ。この場合連続線の直線性が失はれれば、もとのすれば回転角に応じて境界線上に一定値の不静定分布モーメントを仮定する。又これにて対応する条件にて構造全体のある所の切断線での剪断

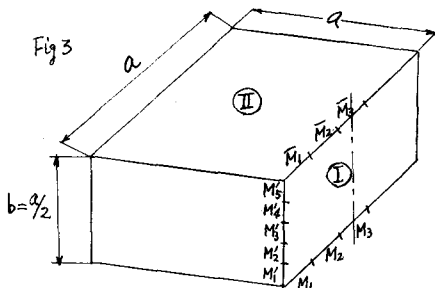
力の統和の外力を釣合うたるの戸方程式の解法DRによる。例えば連続線 $y=0$ の剪断力の総和は

$$S = \int_0^a \left[\frac{\partial^3 W}{\partial y^3} + (2-\nu) \frac{\partial^3 W}{\partial x \partial y} \right] dx \quad \text{である} \quad (\text{図3の平板構造}) \quad \text{戸に於ける戸方程式は}$$

$$\sum S = \sum P \quad \text{但し} \sum P \text{は切断線にて釣合う水平外力の総和}$$

図3形は、手元で3。

3. 計算例 上記の方法を用いて箱形壁体、門形壁体等の立体構造について計算を試みたのでそり一例を示す。



底辺の選査に対するたわみ角の式

$$y_x = \sum_i \phi'_i M_i + \sum_j \phi'_j \bar{M}_j + \sum_{i,j} \phi''_{ij} M'_{ij}$$

$$\phi'_i = \sum_{m=1,3,5} \frac{\pi}{16} \left[\phi'_1 \left(\frac{x_i}{a} \right) - \phi'_3 \left(\frac{x_i}{a} \right) + \frac{2}{m^2} \left(\coth \frac{m\pi}{2} - \frac{m\pi}{2} \operatorname{coth}^2 \frac{m\pi}{2} \right) f(x_i) \right] \sin \frac{m\pi x}{a} \quad \text{但し } f(x_i) = \sin \frac{m\pi}{10} \sin \frac{m\pi}{a} x_i$$

$$\phi'_3 = \psi_\lambda(\lambda = \xi + \bar{\xi}) + \psi_\lambda(\lambda = \xi - \bar{\xi}) \quad \psi_\lambda = \frac{\pi\lambda}{2} [1 - \log \frac{\pi\lambda}{2} - \frac{2^{2n}(2^{n-1})B_n(\pi\lambda)^{2n}}{(2n+1)!}] \quad B_n \text{はベルヌーイ数} \quad \bar{\xi} = \frac{x_i}{a}$$

$$\phi'_j = \sum_{m=1,3,5} \frac{\pi}{8m} \left(1 - \frac{m\pi}{2} \coth \frac{m\pi}{2} \right) \operatorname{coth} \frac{m\pi}{2} f(x_j) \sin \frac{m\pi x}{a} x_j$$

$$\phi''_{ij} = \sum_{n=1,2,3} \frac{\pi^2}{8n} \left[\frac{1}{2} \tanh n\pi \frac{\operatorname{coth} n\pi \left(\frac{1}{2} - \frac{x_i}{a} \right)}{\operatorname{coth} n\pi} - \left(\frac{1}{2} - \frac{x_i}{a} \right) \frac{\sinh 2n\pi \left(\frac{1}{2} - \frac{x_i}{a} \right)}{\operatorname{coth} n\pi} \right] f(y_j) \quad f(y_j) = \sin \frac{n\pi}{10} \sin \frac{n\pi}{a} y_j$$

頂板の選査に対するたわみ角の式

$$y_y = \sum_i \phi'_i M_i + \sum_j \phi'_j \bar{M}_j + \sum_{i,j} \phi''_{ij} M'_{ij}$$

但し ϕ'_i, ϕ'_j 等は相反作用の定理によつて ϕ_i, ϕ_j, ϕ'_i を参照して直ちに得らん。

側辺の選査に対するたわみ角の式

$$y_y = \sum_i \phi'_i M_i + \sum_j \phi'_j \bar{M}_j + \sum_{i,j} \phi''_{ij} M'_{ij}$$

但し ϕ''_{ij} 等は相反作用の定理の ϕ_i, ϕ_j, ϕ'_i を参照して直ちに得らん。

$$\phi''_{ij} = \sum_{n=1,2,3} \frac{\pi}{64} \left[\phi''_1 \left(\eta = \frac{y_i}{b} \right) - \phi''_3 \left(\eta = \frac{y_i}{b} \right) + \frac{2}{n^2} \left(\tanh n\pi \frac{\sqrt{1-\eta^2}}{b} + n\pi \operatorname{sech} n\pi \right) f(y_i) \right] \sin \frac{n\pi y}{b} \quad \text{但し } f(y_i) = \sin \frac{n\pi}{10} \sin \frac{n\pi}{b} y_i$$

$$\phi''_1 = \psi_\lambda(\lambda = \eta + \bar{\eta}) + \psi_\lambda(\lambda = \eta - \bar{\eta}) \quad \psi_\lambda = \frac{\pi\lambda}{2} [1 - \log \pi\lambda + \frac{1}{18} \cdot \frac{\pi\lambda^2}{2} + \dots + \frac{2^{m-1} \times B_m}{(2m)(2m+1)n} \left(\frac{\pi\lambda}{2} \right)^{2m}] \quad \bar{\eta} = \frac{y_i}{b}$$

頂板IIの選査に対するたわみ角も同様に得らる。荷重項は算能支持板にたわみ角で与えられる。この問題は既に既に精密解を得られてゐるが²⁾本解と比較の結果極めて良好な精度を示し主要誤差モードの誤差は1%程度である。詳細は講演時申述べる。

1) A Method of Approximation of the plate problem. Kurata, Okamura, Memoirs, Eng. Osaka City Univ.

2) Y. Tuboi: On the Bending of □-Shaped Walls. 建築学会論文集 Vol. 17 No. 1